О МЕХАНИЗМАХ РАССЕЯНИЯ ЭЛЕКТРОНОВ В ТВЕРДЫХ РАСТВОРАХ $In^1_{-x}Ga_xP$

Г. М. АВАКЬЯНЦ, А. И. ВАГАНЯН, М. Л. ДИМАКСЯН

Измерены эффект Холла и электропроводность в твердых растворах $In_{1-x}Ga_xP$ в интервале температур $120\div500^{\circ}$ К. Проанализировано влияние различных механизмов рассеяния на подвижность электронов. Установлен характер изменения подвижности электронов в Γ - и X-минимумах. В свете рассмотренных механизмов рассеяния наблюдается хорошее согласие экспериментальных данных для коэффициента Холла и электропроводности с расчетными кривыми.

Твердый раствор $In_{1-x}Ga_xP$ в настоящее время привлекает внимание многих исследователей, так как является одной из наиболее интересных и перспективных систем. Имеется ряд работ, посвященных зонному строению, оптическим и люминесцентным свойствам этой системы [1—3]. Однако кинетические явления в этой системе изучены еще явно недостаточно. Для интерпретации экспериментальных данных по явлениям переноса необходимо знать основные механизмы рассеяния, ограничивающие подвижность носителей тока.

В настоящей работе рассматривается влияние различных механизмоз рассеяния на подвижность электронов в n- $In_{1-x}Ga_xP$ в зависимости от температуры. С этой целью измерены эффект Холла и электропроводность различных составов твердых растворов в интервале температур от 120 до 500°К. Образцы приготовлялись описанным в работе [4] методом. Концентрация электронов составляла $1 \cdot 10^{17} \div 3 \cdot 10^{17}$ см⁻³.

Положение Γ -, X- и L-минимумов данного твердого раствора построено на основе [5]. При этом считается, что критическая точка x_c , в которой энергии Γ - и X-минимумов становятся одинаковыми, равна 0,68. Простая оценка с учетом плотности состояний соответствующих минимумов показала, что в слабых электрических полях в измеряемом интервале температур систему $In_{1-x}Ga_xP$ можно разделить на три области по составу. В первой области составов от фосфида индия примерно до x=0,5 практически все электроны находятся в Γ -минимуме. Во второй области составов при x>0,7 практически все электроны находятся в X-минимумах. Для третьей промежуточной области составов электроны находятся как в Γ -, так и в X-минимумах. Влияние L-минимумов в указанных условиях несущественно.

Этот факт отражается на рис. 1, где по карактеру зависимости коэффициента Холла от температуры наблюдаются три группы кривых. Для образцов первой группы в данном интервале температур примесные уровни практически полностью ионизованы. Небольшой наклон кривых 1 и 2, как показали расчеты, в основном обусловлен изменением холловского фактора рассеяния. Наклон кривых второй группы образцов является следствием

изменения концентрации электронов. Оценка энергии ионизации донорных уровней по наклону прямолинейного участка кривой $\ln\left[\frac{n\left(n+N_a\right)}{N_d-N_a-n}\right.T^{3/2}\right]=f\left(1/T\right)$ для случая частичной компенсации пока-

зала, что она почти не изменяется от состава и составляет величину порядка 0,04 эв. Температурная зависимость ковффициента Холла третьей группы образцов (кривые 3 и 4) имеет более сложный характер ввиду двухзонного строения зоны проводимости этих составов.

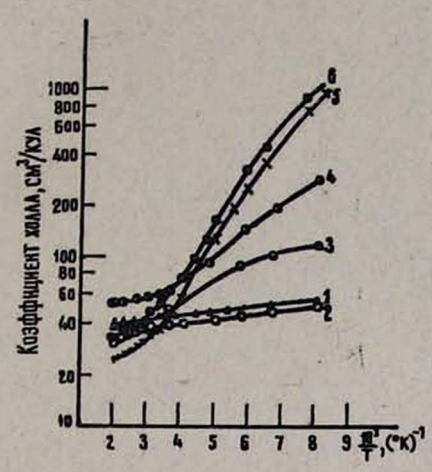


Рис. 1. Температурная зависимость коэффициента Холла: 1-x=0; 2-x=0,40; 3-x=0,65; 4-x=0,70; 5-x=0,85; 6-x=1.

Для оценки вклада различных механизмов рассеяния в подвижность электронов построены теоретические кривые температурной зависимости подвижности электронов при каждом отдельном типе рассеяния некоторых составов исследуемой системы (рис. 2). Подвижность определялась по формуле

$$\mu = \frac{e < \tau >}{m^*},$$

где

$$<\tau> = \frac{\int\limits_{0}^{\infty} \tau\left(\varepsilon\right) \, \varepsilon^{3/2} \, e^{-\varepsilon} \, d\varepsilon}{\Gamma\left(5/2\right)},$$

 $\varepsilon = E/\kappa T$ — энергия электронов в единицах κT . Суммарные подвижности рассчитаны в приближении $1/\mu = \sum\limits_{i} 1/\mu_{i}$. Все расчеты проведены в предпо-

ложении, что имеется полупроводник с одним типом доноров и акцепторов, однократно ионизованных, и изоэнергетические поверхности зоны проводимости обладают сферической симметрией. Число эквивалентных X-минимумов принято равным трем. Параметры, используемые в расчетах, взяты в линейной аппроксимации по имеющимся в литературе наиболее достоверным данным для исходных соединений (см. таблицу) в пренебрежении их температурной зависимостью.

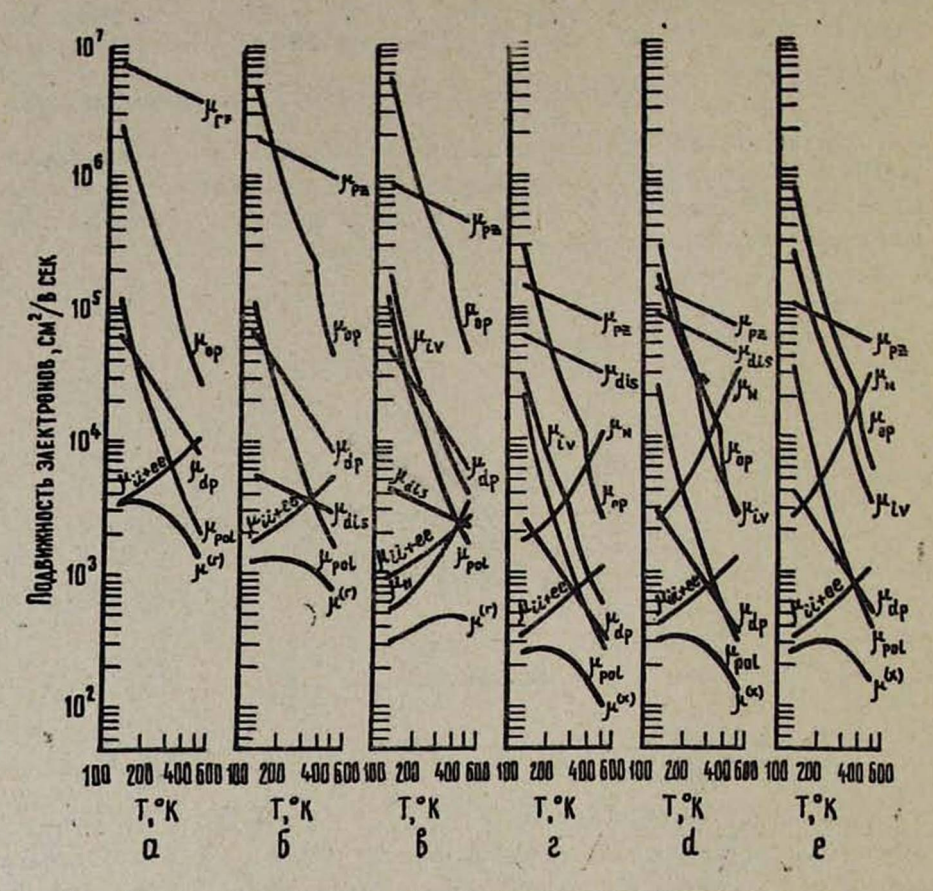


Рис. 2. Расчетные кривые подвижности электронов при различных механизмах рассеяния:

a)
$$x = 0$$
 $(N_{d,=} = 2,50 \cdot 10^{17} \text{ cm}^{-3}, N_a = 0,25 \cdot 10^{17} \text{ cm}^{-3});$
6) $x = 0,40$ $(N_d = 3,08 \cdot 10^{17} \text{ cm}^{-3}, N_a = 0,83 \cdot 10^{17} \text{ cm}^{-3});$
8) $x = 0,65$ для Γ -минимума $\{N_d = 6,08 \cdot 10^{17} \text{ cm}^{-3}, 10\}$
1) $x = 0,65$ для X -минимума $\{N_a = 3,02 \cdot 10^{17} \text{ cm}^{-3}, 10\}$
2) $x = 0,85$ $\{N_d = 4,42 \cdot 10^{17} \text{ cm}^{-3}, N_a = 1,99 \cdot 10^{17} \text{ cm}^{-3}\};$
8) $x = 1$ $\{N_d = 4,49 \cdot 10^{17} \text{ cm}^{-3}, N_a = 2,44 \cdot 10^{17} \text{ cm}^{-3}\}.$

Для расчета подвижности электронов, соответствующей рассеянию на ионизованных примесях, использовалась формула Брукса—Херринга [6]

$$\frac{1}{\tau_{ll}} = \frac{\pi e^4 n_l \, g(\eta)}{\varepsilon_0^2 (2m^*)^{1/2} (k \, T)^{3/2}} \varepsilon^{-3/2} \, (ce\kappa^{-1}), \tag{1}$$

где

$$n_{i} = 2N_{a} + n, \ g \cdot (\eta) = \ln(1+\eta) - \frac{\eta}{1+\eta}.$$

$$\eta = \frac{2m^{*}(kT)^{2}\varepsilon}{\pi\hbar^{2}e^{2}n'_{i}}, \ n'_{i} = n + \frac{(n+N_{a})(N_{a}-N_{a}-n)}{N_{a}}.$$

		Tab
Параметры	Фосфид индия	фосфид гилля
Er, 98	1,35	2,81
Ex. 98	2.17	2,26
E_L, 98	1,95	2.17
m_{Γ}	0,073 m	0,13 m
m _X	0,40 m	0,34 m
liwo, sa	0,0424	0,0486
hωΓχ, 98	0,0293	0,0335
D _{TX} , se/cm	1.109	5,108
50	12,35	10,80
5.00	9,52	9,20
E1, 98	14,5	12,0
e ₁₄ , ^{3A eA 3.}	1,05.104	3,0.104
UI, cm/cek	5,2.105	6,2-105

Хорошее согласие с экспериментальными данными получается при учете электрон-электронного взаимодействия, которое, согласно Спитцеру и Херму [7], приводит к тому, что величина ионной подвижности умножается на фактор взаимодействия 0,6. Как видно из рис. 2, при низких температурах (примерно до комнатных) основным механизмом, ограничивающим подвижность электронов, является рассеяние на ионизованных примесях с учетом электрон-электронного взаимодействия.

При рассеянии электронов на нейтральных примесях время релаксации, согласно Эрджинсою [8], имеет вид

$$\frac{1}{\tau_N} = \frac{20 \,\varepsilon_0 \,\hbar^3 n_N}{(m^*)^2 \,e^2} \,(ce\kappa^{-1}), \tag{2}$$

где
$$n_N = N_d - N_a - n$$
.

Так как в измеряемом интервале температур для составов, прилегающих к фосфиду индия, примесные уровни полностью ионизованы, рассеяние на нейтральных примесях практически отсутствует. Для составов же, прилегающих к фосфиду галлия, рассеяние на нейтральных примесях может играть существенную роль, особенно при низких температурах (рис. 2д и е). Вклад этого типа рассеяния при одинаковых концентрациях нейтральных примесей от состава к составу изменяется незначительно, так как эффективные массы электронов в X-минимумах в данном интервале составов почти не изменяются. Следует отметить, что для электронов Г-минимума промежуточных составов роль рассеяния на нейтральных примесях может стать не только значительной, но и в некоторых случаях, как и в данном случае (рис. 2в). преобладающей. Для указанных механизмов рассеяния особенно важно точное определение раздельных концентраций доноров и акцепторов. Использование известных методов расчета N_d и

 N_a , особенно в двухзонной области составов, может привести к существенным ошибкам. Поэтому мы воспользовались предложенным в работе [9] методом, который, на наш взгляд, дает возможность более точно определить эти величины.

При рассеянии электронов на деформационном потенциале акустических колебаний решетки время релаксации имеет вид [10]

$$\frac{1}{\tau_{dp}} = \frac{\sqrt{2} E_1^2 (m^* k T)^{3/2}}{\pi c_l \hbar^4} \epsilon^{1/2} (ce\kappa^{-1}). \tag{3}$$

Величина упругой постоянной c_l определялась на основе работы [11] по имеющимся экспериментальным данным [4] для параметра решетки каждого состава твердых растворов $In_{x-1}Ga_xP$. Этот тип рассеяния сильнее сказывается на электронах X-минимумов, причем при высоких температурах он является одним из главных механизмов рассеяния.

Расчеты, проведенные на основе формулы [12]

$$\frac{1}{\tau_{oz}} = \frac{3 \, \alpha \pi^{3/2} \, (m^*)^{1/2} \, e^2 \, e_{14}^2}{8 \, \sqrt{2} \, \hbar^2 \rho \, u_\ell^2 \, \epsilon_0^2} (k \, T)^{1/2} (ce\kappa^{-1}), \tag{4}$$

показали, что вклад рассеяния на пьезоэлектрическом потенциале акустических воли в подвижность электронов несущественен, хотя его влияние несколько больше в X-минимумах, чем в Γ -минимуме.

Для времени релаксации при рассеянии электронов полярными оптическими колебаниями из формулы Эйренрайха [13] можно получить

$$\frac{1}{\tau_{pol}} = 1,0404 \cdot 10^{14} \left(\frac{\varepsilon_0 - \varepsilon_*}{\varepsilon_0 \varepsilon_*}\right) \left(\frac{m^*}{m}\right)^{1/2} \left(\frac{\vartheta_l}{T}\right)^r \left(\exp\frac{\vartheta_l}{T} - 1\right)^{-1} \varepsilon^{-r} (ce\kappa^{-1}), \quad (5)$$

где r — параметр, зависящий от температуры. Следуя соображениям, приведенным в работе [14], при усреднении времени релаксации для простоты расчетов мы приняли r=-0.5. Как видно из рис. 2, для всех составов при высоких температурах этот тип рассеяния значительно ограничивает подвижность электронов, особенно в X-минимумах. С понижением температуры его влияние экспоненциально падает.

Неполярное оптическое рассеяние рассчитано по формуле, приведенной в работе [15],

$$\frac{1}{\tau_{op}} = \frac{I^{32} (m^*)^{3/2}}{\sqrt{2} \pi \hbar^2 \rho \omega_0} \frac{1}{e^{\hbar \omega_0 / kT} - 1} [(E + \hbar \omega_0)^{1/2} + e^{\frac{\hbar \omega_0}{kT}} (E - \hbar \omega_0)^{1/2}] (ce\kappa^{-1}). (6)$$

Энергия электронов в данном случае принята равной $3\kappa T/2$. Хотя этот тип рассеяния во всем исследуемом интервале температур в центральной долине не играет существенной роли, однако в боковых долинах при высоких температурах его влиянием пренебрегать нельзя.

В твердых растворах значительную роль играет рассеяние носителей на разупорядоченностях сплава. На основе теории Брукса в работе [16] приводится формула для расчета подвижности при данном типе рассеяния, имеющая вид

$$\mu_{\text{dis}} = \frac{(2\pi)^{1/2} e \hbar^4 N_0}{3 (m^*)^{5/2} (kT)^{1/2} x (1-x) (E_0 - E_1)^2} \left(\frac{c M^2}{8 c e \kappa}\right). \tag{7}$$

Как показали расчеты, рассеяние на разупорядоченностях сплава сильнее сказывается на электронах Г-минимума, чем X-минимумов. С другой стороны, влияние этого рассеяния заметно ослабевает с приближением к исходным соединениям. Для последних оно исчезает.

Кроме рассмотренных внутридолинных типов рассеяния расчеты выполнены также для междолинного рассеяния [15]:

$$\begin{split} \frac{1}{\tau_{I_0^{\prime\prime}}^{\prime\prime}} &= \sum_{j} \frac{D_{ij}^2 \, (m_x^j)^{1/2} \, (m_y^j)^{1/2} \, (m_z^j)^{1/2}}{\sqrt{2} \, \pi h^3 \rho \omega_{ij}} \times \\ &\times [N_{\rm q} \, (E - \delta E + \hbar \omega_{ij})^{1/2} + (N_{\rm q} + 1) \, (E - \delta E - \hbar \omega_{ij})^{1/2}]. \end{split}$$

Энергия фононов $\hbar\omega_{ij}$, требуемая для междолинного перехода, согласно селективному правилу [17] для данной системы бралась равной энергии продольных акустических фононов.

Ясно, что для прилегающих к фосфиду индия составов, где δE достаточно велико, междолинное рассеяние не имеет места. Для составов с x>0,7 имеет место рассеяние между эквивалентными X-минимумами, влияние которого подобно оптическому рассеянию становится заметным лишь при высоких температурах. Для промежуточных составов междолинное рассеяние происходит как между эквивалентными X-минимумами, так и между Γ - и каждым из X-минимумов и сильнее сказывается при высоких температурах (рис. 2), причем в зависимости от состава с уменьшением δE влияние междолинного рассеяния может сильно увеличиться.

Исходя из конкретных параметров для каждого образца и приведенного анализа кривых подвижности электронов, нами рассчитаны удельная электропроводность

$$\sigma = e \left(n_1 \mu_1 + n_2 \mu_2 \right)$$

и коэффициент Холла

$$R = \frac{1}{en} \frac{r_1 c_1 b^3 + r_2 c_2}{(c_1 b + c_2)^3}.$$

Холловские факторы рассеяния при каждой температуре вычислялись по сумме

$$r = \sum_{i} r_{i} \alpha_{i}$$

где

$$r_{l} = \frac{\Gamma(5/2 - 2 s_{l}) \Gamma(5/2)}{[\Gamma(5/2 - s_{l})]^{2}}, \quad \alpha = \frac{1}{\mu_{l}} : \frac{1}{\mu}.$$

Оценка положения уровня Ферми по приближению Эренберга—Блекмора показала, что для фосфида индия и близких к нему составов данной концентрации электронов при низких температурах имеет место частичное вырождение. В эгих случаях холловский фактор определялся по более общему выражению.

На рис. 3 и 4 представлены расчетные кривые (сплошные линии) и экспериментальные данные (точки) для температурной зависимости коэффициента Холла и удельной электропроводности некоторых типичных составов твердых растворов $In_{1-x}G\alpha_xP$. Наблюдается хорошее качественное и количественное согласие. Это указывает на то, что рассмотренные механизмы рассеяния электронов включают в себя определяющие механизмы для данной системы. Некоторое расхождение при низких температурах, по-видимому, можно объяснить неучетом других возможных при этих температурах механизмов.

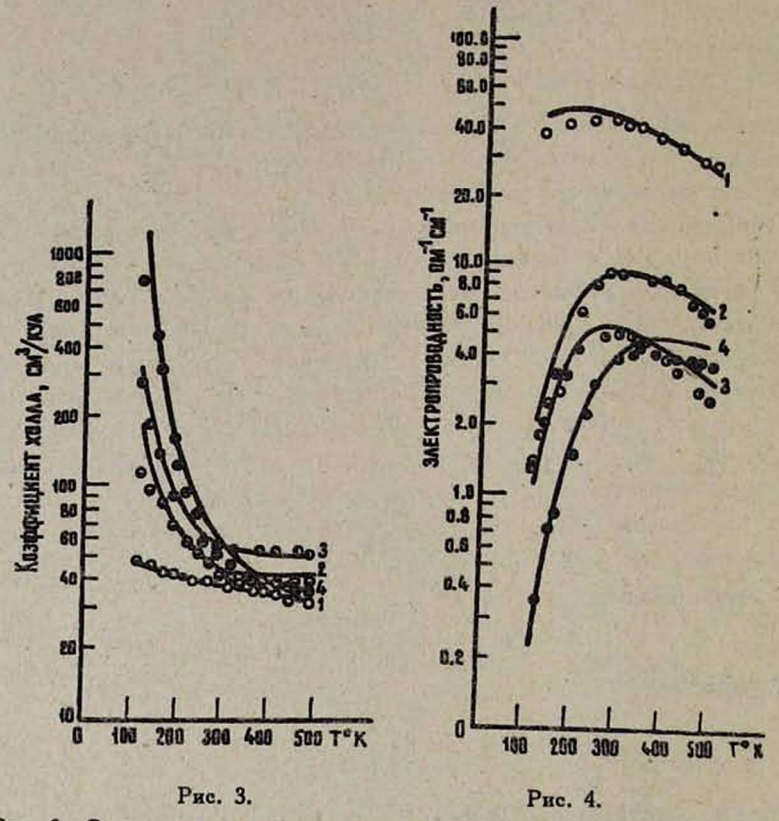


Рис. 3. Сравнение экспериментальных данных для коэффициента Холла с теоретическими кривыми:

O x = 0.40, кривая 1 ($N_d = 3.08 \cdot 10^{17} \text{ см}^{-3}$, $N_a = 0.83 \cdot 10^{17} \text{ см}^{-3}$);

x = 0.65, RPHBAR 2 ($N_d = 6.08 \cdot 10^{17} \text{ cm}^{-3}$, $N_a = 3.02 \cdot 10^{17} \text{ cm}^{-3}$);

 \mathbb{P} x = 0.70, кривая 3 ($N_d = 5.40 \cdot 10^{17} \text{ с.u}^{-3}$, $N_\alpha = 3.20 \cdot 10^{17} \text{ с.u}^{-3}$); x = 1, кривая 4 ($N_d = 11.66 \cdot 10^{17} \text{ с.u}^{-3}$, $N_\alpha = 8.57 \cdot 10^{17} \text{ с.u}^{-3}$).

Рис. 4. Сравнение экспериментальных данных для электропроводности с теоретическими кривыми (обозначения те же, что и на рис. 3).

Таким образом, обобщая проведенный анализ, можно сделать следующий вывод. Почти для всех составов системы $In_{1-x}Ga_xP$ при низких температурах определяющим является рассеяние на ионах примеси с

учетом электрон-электронного взаимодействия. Исключение составляют промежуточные составы, где электроны центральной долины в значительной степени рассеиваются также и нейтральными примесями. Отметим, что область температур, где преобладают указанные типы рассеяния, зависит от чистоты материала и степени компенсации. При высоких температурах доминирующим механизмом для электронов Г-минимума является рассеяние на полярных оптических колебаниях, а для электронов Х-минимумов полярные оптические фононы и деформационный потенциал акустических волн вносят почти одинаковый вклад. Внутри твердых растворов во всем интервале температур рассеяние на разупорядоченностях сплава может играть существенную роль в Г-минимуме. Помимо указанных типов рассеяния в Г- и Х-минимумах для составов с малыми δЕ при высоких температурах накладывается также влияние междолинного рассеяния.

Укажем также, что так как в двухзонной области составов в явлениях переноса участвуют электроны двух долин ($\mu = c_1 \mu_1 + c_2 \mu_2$), то наблюдаемая температурная зависимость подвижности зависит не только от характера изменения подвижности в каждой из долин, но и от изменения относительной заселенности этих долин. С другой стороны, относительная заселенность долин меняется с изменением состава, т. е. энергетического зазора между минимумами. Этим обусловлено резкое изменение подвижности электронов в зависимости от состава в двухзонной области системы $In_{1-x}Ga_xP$, которое наблюдалось в работах [3, 4, 18].

Ереванский государственный университет

Поступила 4.IV.1977

ЛИТЕРАТУРА

- 1. C. Alibert et al. Phys. Rev., B 6, 1301 (1972).
- 2. Ж. И. Алфёров и др. ФТП, 7, 624 (1973).
- 3. H. M. Macksey et al. J. Appl. Phys., 44, 1333 (1973).
- 4. Г. М. Авакьяну, А. И. Ваганян, М. Л. Бегларян. ДАН АрмССР, 50, 273 (1970).
- 5. A. Suiyokwaishi. Trans. Mining and Met., 17, 293 (1972).
- 6. H. Brooks. Advan. Electron. Phys., 7, 158 (1955).
- 7. L. Spitzer, R. Harm. Phys. Rev., 89, 977 (1953).
- 8. C. Erginsoy. Phys. Rev., 79, 1013 (1950).
- 9. А. И. Ваганян. Ученые ваписки ЕГУ, № 2 (1978).
- 10. J. Bardeen, W. Shockley. Phys. Rev., 80, 72 (1950).
- 11. R. W. Keyes. J. Appl. Phys., 33, 3371 (1962).
- 12. W. A. Harrison. Phys. Rev., 101, 903 (1956).
- 13. H. Ehrenreich J. Phys. Chem. Sol., 8, 130 (1959); Phys. Rev., 120, 1951 (1960).
- 14. А. Ф. Кравченко, Б. В. Моровов, Э. М. Скок. ФТП, 6, 2163 (1972).
- Э. Конуэлл. Кинетические свойства полупроводников в сильных электрических полях, М., 1970.
- 16. L. Makowski, M. Glicksman. J. Phys. Chem. Sol., 34, 487 (1973).
- 17. J. L. Birman, M. Lax, R. Loudon. Phys. Rev., 145, 620 (1966).
- 18. T. Kato, A. Shimizu, T. Inshida. Jap. J. Appl. Phys., 13, 1481 (1974).

$In_{1-x}Ga_xP$ ՊԻՆԴ ԼՈՒԾՈՒՅԹՆԵՐՈՒՄ ԷԼԵԿՏՐՈՆՆԵՐԻ 8 Γ ՄԱՆ ՄԵԽԱՆԻԶՄՆԵՐԻ ՄԱՍԻՆ

4. V. uquasubs, u. c. queudsub, v. l. appurusub

Չափված են $In_{1-x}Ga_xP$ պինդ լուծույնների տարրեր բաղադրունյան նմուշների էլեկտրահաղորդականունյունն ու Հոլի էֆեկտը $120 \pm 500^\circ$ K չերմաստիճանային միջակայգում։ Վերլուծունյան է եննարկված ցրման տարբեր մեխանիզմների ազդեցունյունը էլեկտրոնների չարժունակունյան վրա։ Պարզաբանված է էլեկտրոնների շարժունակունյան փոփոխունյան բնույնը Γ - և X- մինիմումներում։ Քննարկված ցրման մեխանիզմների հաշվառման պայմաններում
նկատվում է լավ համաձայնունյուն էլեկտրահաղորդականունյան և Հոլի գործակցի փորձնական տվյալների և հաշվարկային կորերի միջև։

ON THE MECHANISMS OF ELECTRONS SCATTERING IN SOLID $In_{1-r}Ga_rP$ SOLUTIONS

G. M. AVAK'YANTZ, A. I. VAHANYAN, M. L. DIMAKSYAN

The Hall effect and the electrical conductivity of n-type $In_{1-x}Ga_xP$ solid solutions were measured for temperatures ranging from 120 to 500°K. Several scattering mechanisms limiting the mobility of electrons in Γ - or X-minima were considered. The measurements well agree with calculations.